

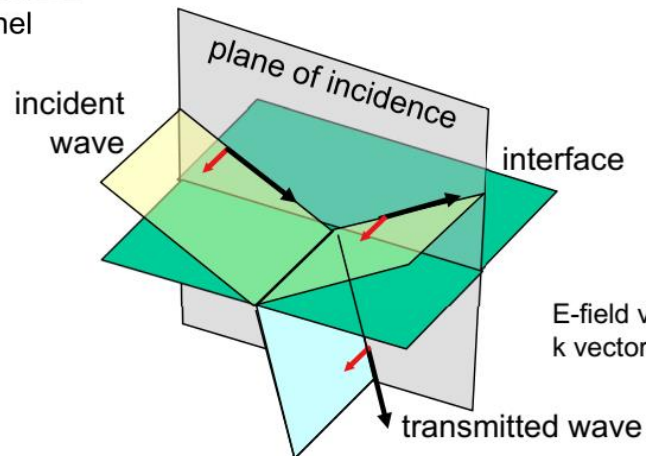
Reflexão e Transmissão: as equações de Fresnel



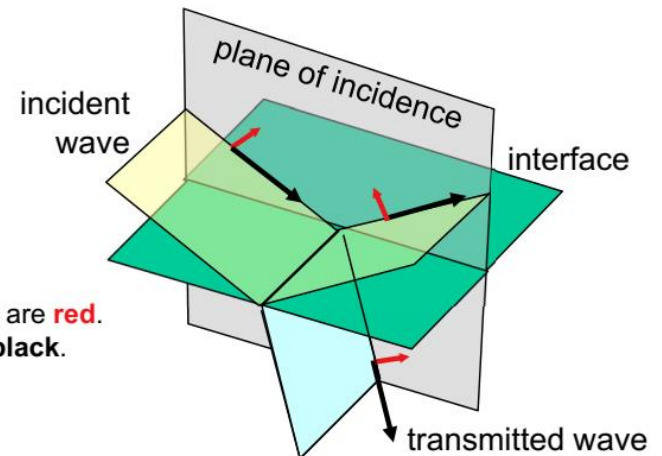
Augustin Fresnel
1788-1827

Condições de fronteira numa interface ótica

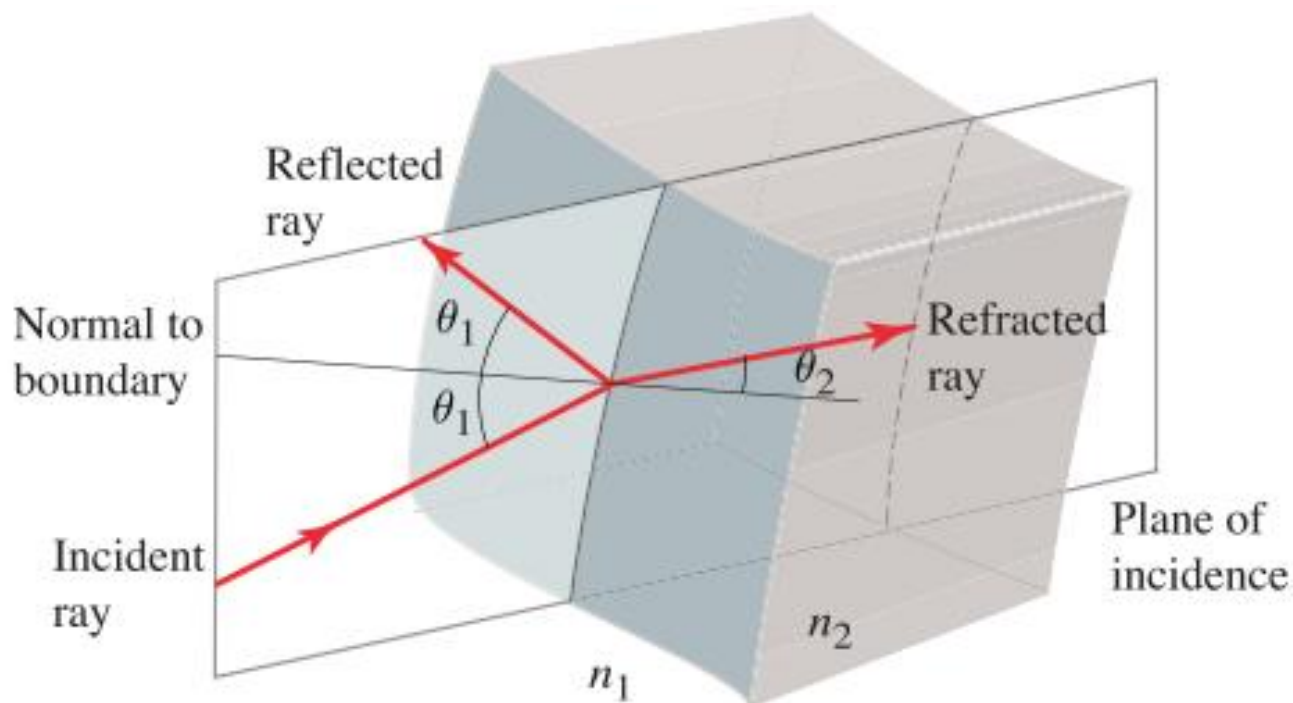
- Campos tangenciais são contínuos



E-field vectors are **red**.
k vectors are **black**.



Plano de incidência



Plano de incidência: o plano geométrico definido pelos raios incidente e refletida

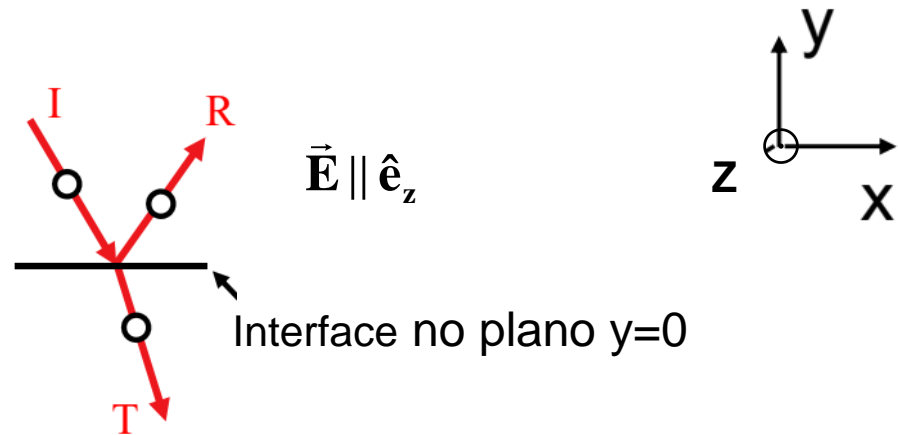
$$\mathbf{k}_{in} \text{ e } \mathbf{k}_{refl}$$

Polarização “s” e “p”

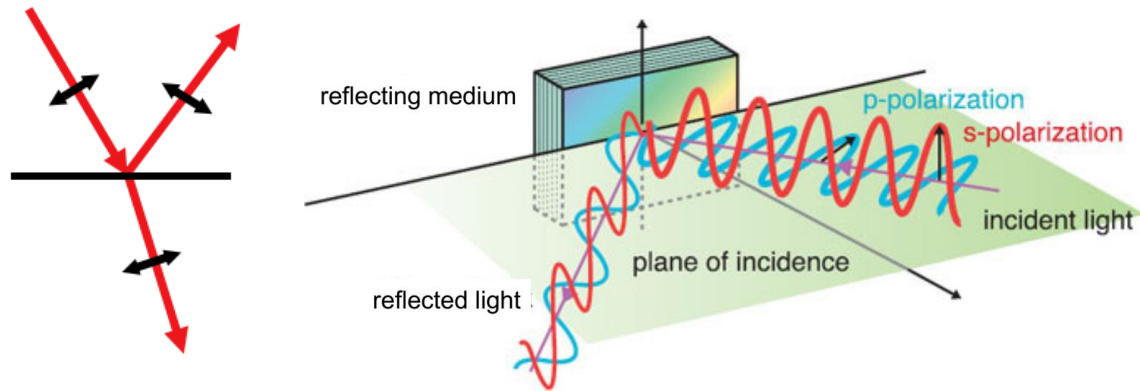
Pergunta chave: Em que direção aponta o campo elétrico?

Polarização “s” (TE)
O campo \mathbf{E} “**sai**” do plano de incidência

Plano de incidência ($z=0$)
(o plano do slide)

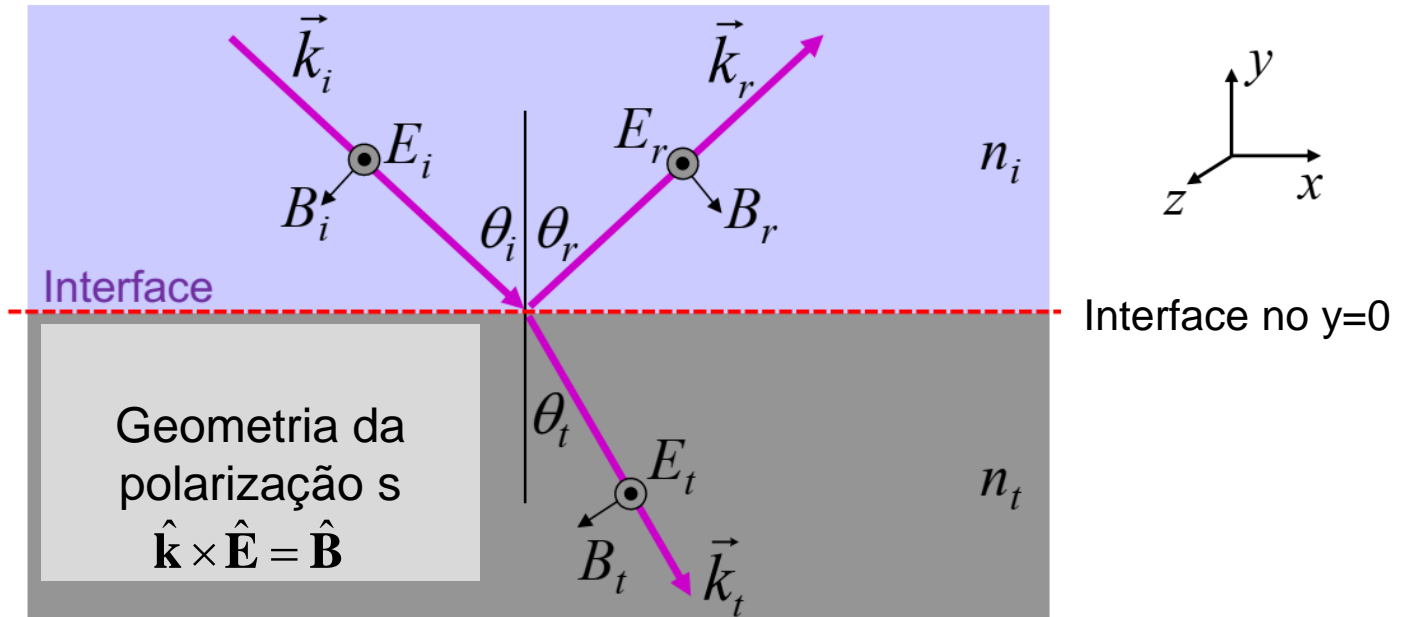


Polarização “p” (TM)
O campo \mathbf{E} é “**paralelo**” ao plano de incidência



Caso da polarização “s” (TE)

Fresnel ~1820



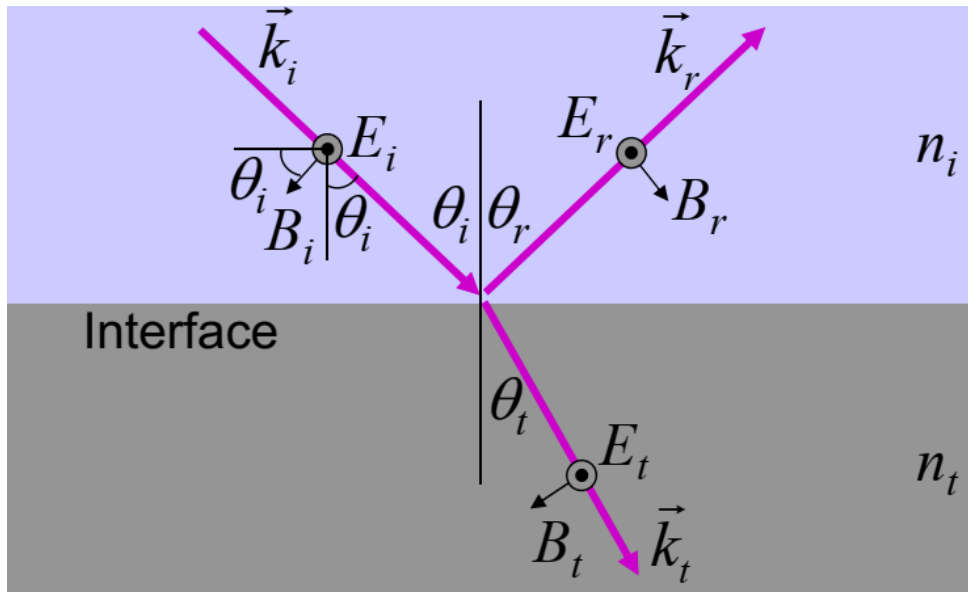
Condições de fronteira: Os campos tangenciais á interface são contínuos

$$E_i(y=0) + E_r(y=0) = E_t(y=0)$$

Nota: não está indicada explicitamente a dependência nos coordenados x, z e $t \dots$

$$\exp[i(\mathbf{k} \cdot \mathbf{r} - \omega t)]$$

Polarização “s” – condição no campo magnético



Condições de fronteira: Os campos tangenciais à interface são contínuos

$$-B_i(y=0)\cos\theta_i + B_r(y=0)\cos\theta_r = -B_t(y=0)\cos\theta_t$$

Nota: a condição da continuidade é de fato no campo H , mas como $\mu_i = \mu_0$, $\mu_t = \mu_0$
 $B = \mu_0 H$

Contas...

A relação entre as amplitudes complexas na interface para a polarização “s” :

$$E_{0i} + E_{0r} = E_{0t} \quad (1)$$

$$-B_{0i} \cos \theta_i + B_{0r} \cos \theta_r = -B_{0t} \cos \theta_t \quad (2)$$

Lembrar que $E_0 = \frac{c}{n} B_0$ $B_0 = nE_0 / c$ e $\theta_i = \theta_r$

$$(2) \quad n_i (E_{0r} - E_{0i}) \cos \theta_i = -n_t E_{0t} \cos \theta_t$$

$$(1) \quad E_{0i} + E_{0r} = E_{0t}$$

$$n_i (E_{0r} - E_{0i}) \cos \theta_i = -n_t (E_{0r} + E_{0i}) \cos \theta_t$$

$$E_{0r} [n_i \cos \theta_i + n_t \cos \theta_t] = E_{0i} [n_i \cos \theta_i - n_t \cos \theta_t]$$

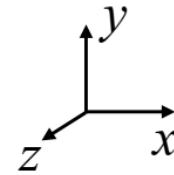
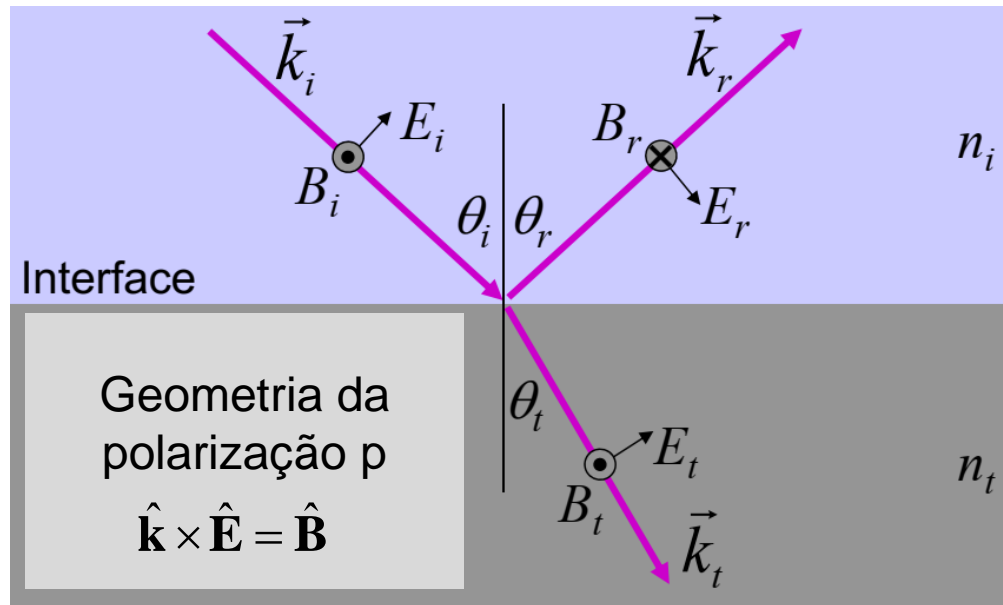
Coeficiente da reflexão

$$r_{\perp} = r_s \equiv \frac{E_{0r}}{E_{0i}} = \frac{n_i \cos \theta_i - n_t \cos \theta_t}{n_i \cos \theta_i + n_t \cos \theta_t}$$

Contas análogas dão
o coeficiente da transmissão

$$t_{\perp} = t_s \equiv \frac{E_{0t}}{E_{0i}} = \frac{2n_i \cos \theta_i}{n_i \cos \theta_i + n_t \cos \theta_t}$$

Caso da polarização “p” (TM)



Interface no $y=0$



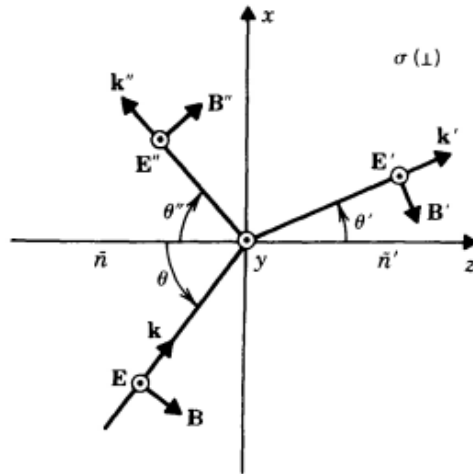
Nota técnica: Hecht usa uma notação diferente para o campo refletido. Esta (que é usado no livro “Fundamentals of Photonics de B Saleh e M Teich ou Physics of Light de J. Peatross e M.Ware é melhor. A diferença provoca diferenças de sinal na expressão para r_p

Condições de fronteira: Os campos tangenciais á interface são contínuos

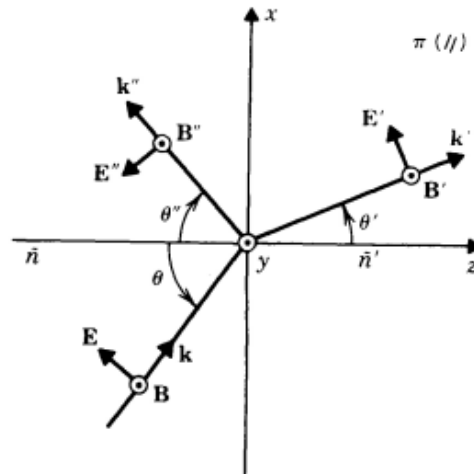
$$B_{0i} - B_{0r} = B_{0t}$$

$$E_{0i} \cos \theta_i + E_{0r} \cos \theta_r = E_{0t} \cos \theta_t$$

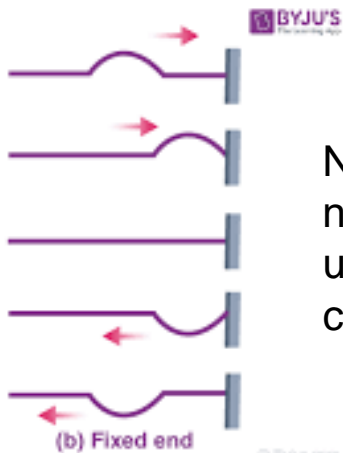
Convenção de Hecht (Born e Wolfe)



Polarização “s” ou \perp



Polarização “p” ou \parallel



Nesta convenção, no limite de incidência normal as polarizações “s” e “p” tem uma relação oposta de fase entre o campo E incidente e o campo E refletido.

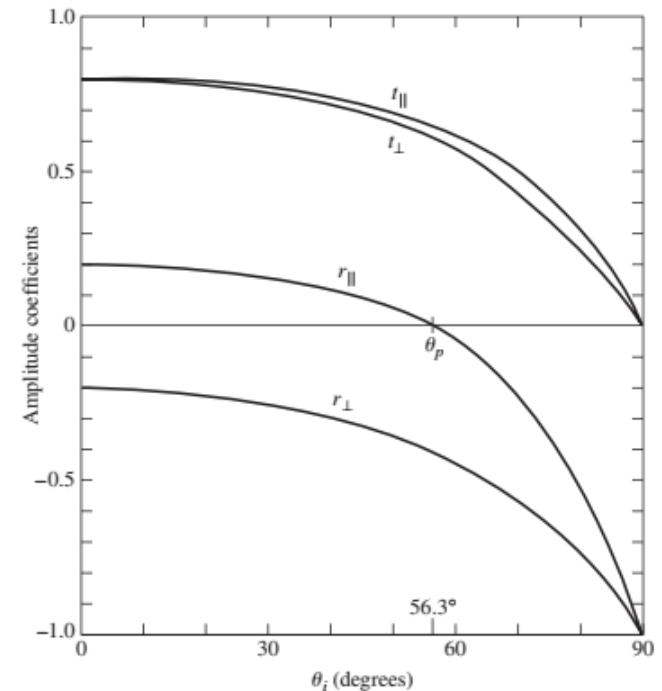


Figure 4.49 The amplitude coefficients of reflection and transmission as a function of incident angle. These correspond to external reflection $n_t > n_i$ at an air–glass interface ($n_{ij} = 1.5$).

Contas...

A relação entre as amplitudes complexas na interface para a polarização “p” são:

$$B_{0i} - B_{0r} = B_{0t} \quad (1)$$

$$E_{0i} \cos \theta_i + E_{0r} \cos \theta_r = E_{0t} \cos \theta_t \quad (2)$$

Lembrar que $E_0 = \frac{c}{n} B_0$ $B_0 = nE_0 / c$ e $\theta_i = \theta_r$

$$(1) \quad n_i (E_{0i} - E_{0r}) = n_t E_{0t}$$

$$(2) \quad (E_{0i} + E_{0r}) \cos \theta_i = E_{0t} \cos \theta_t \quad \cos \theta_t (1) - n_t (2)$$

$$n_i (E_{0r} - E_{0i}) \cos \theta_t = n_t (E_{0r} + E_{0i}) \cos \theta_t$$

$$E_{0r} [n_i \cos \theta_t - n_t \cos \theta_i] = E_{0i} [n_i \cos \theta_t + n_t \cos \theta_i]$$

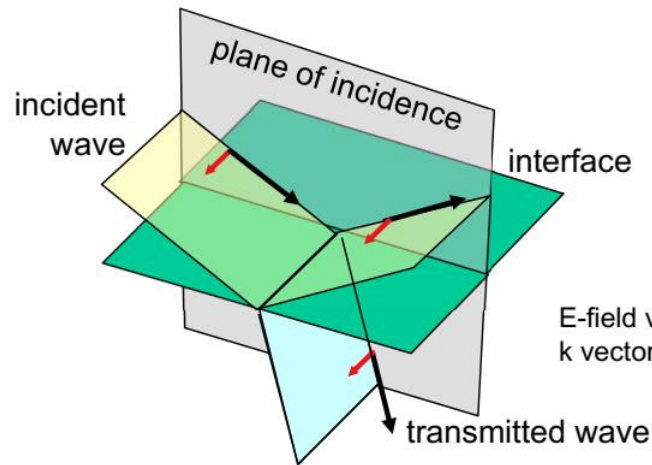
Coeficiente da reflexão

$$r_{\parallel} = r_p \equiv \frac{E_{0r}}{E_{0i}} = \frac{n_i \cos \theta_t - n_t \cos \theta_i}{n_i \cos \theta_t + n_t \cos \theta_i}$$

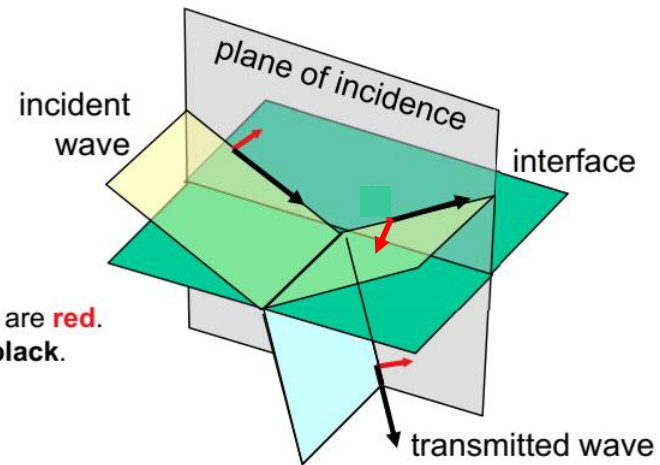
Contas análogas dão
o coeficiente da transmissão

$$t_{\parallel} = t_p \equiv \frac{E_{0t}}{E_{0i}} = \frac{2n_i \cos \theta_i}{n_i \cos \theta_t + n_t \cos \theta_i}$$

Em resumo



E-field vectors are **red**.
k vectors are **black**.



Luz com polarização “s”

$$r_{\perp} = \frac{n_i \cos(\theta_i) - n_t \cos(\theta_t)}{n_i \cos(\theta_i) + n_t \cos(\theta_t)}$$

$$t_{\perp} = \frac{2n_i \cos(\theta_i)}{n_i \cos(\theta_i) + n_t \cos(\theta_t)}$$

Luz com polarização “p”

$$r_{\parallel} = \frac{n_i \cos(\theta_t) - n_t \cos(\theta_i)}{n_i \cos(\theta_t) + n_t \cos(\theta_i)}$$

$$t_{\parallel} = \frac{2n_i \cos(\theta_i)}{n_i \cos(\theta_t) + n_t \cos(\theta_i)}$$

E a lei de Snell-Descarte é válida com ambas as polarizações $n_i \sin \theta_i = n_t \sin \theta_t$

Coeficiente de reflexão ar → vidro

$$r_{\parallel} = \frac{n_{ar} \cos \theta_t - n_{vidro} \cos \theta_i}{n_{ar} \cos \theta_t + n_{vidro} \cos \theta_i}$$

$$r_{\perp} = \frac{n_{ar} \cos \theta_i - n_{vidro} \cos \theta_t}{n_{ar} \cos \theta_i + n_{vidro} \cos \theta_t}$$

- $\theta_i = 0 = \theta_t$ $r_{\perp} = r_{\parallel}$
- $\theta_i \rightarrow 90^\circ$ $r_{\parallel} \rightarrow 1$; $r_{\perp} \rightarrow -1$

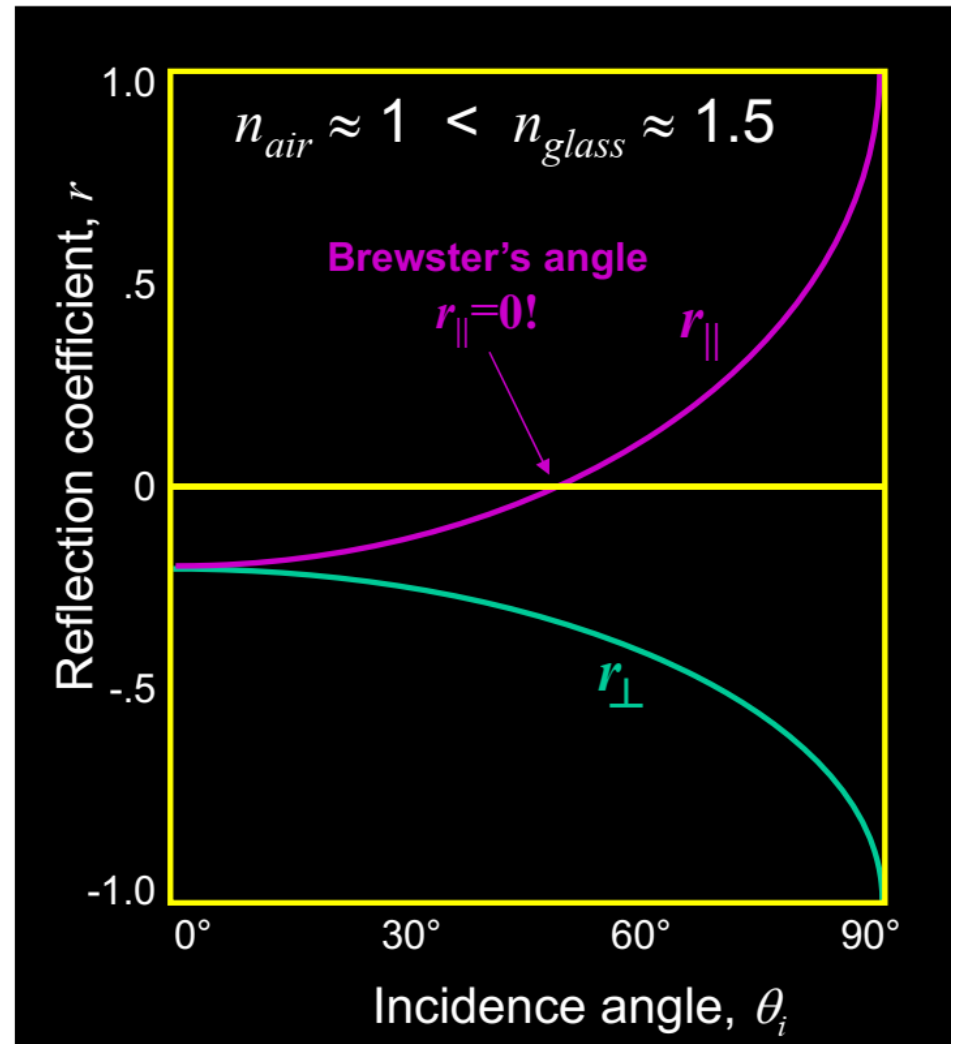


Existe um angulo de incidência na polarização “p” em que $r_{\parallel} = 0$

$$\theta_{Brewster} = \tan^{-1}(n_t / n_i)$$

David Brewster
1781 - 1868

ar → vidro $\theta_{Brewster} \approx \tan^{-1}(1.5)$
 $\approx 56.3^\circ$



Coeficiente de reflexão vidro → ar

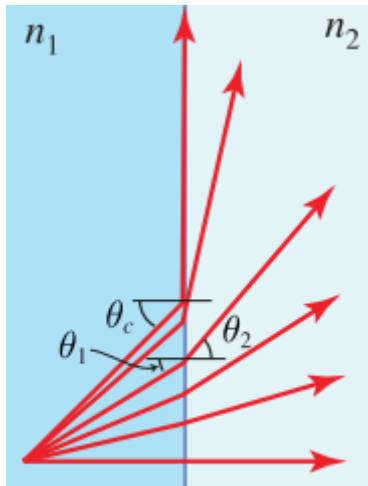
$$n_{\text{vidro}} > n_{\text{ar}}$$

Reflexão total interna

Ângulo crítica

$$\theta_{\text{critica}} = \sin^{-1}(n_i / n_t)$$

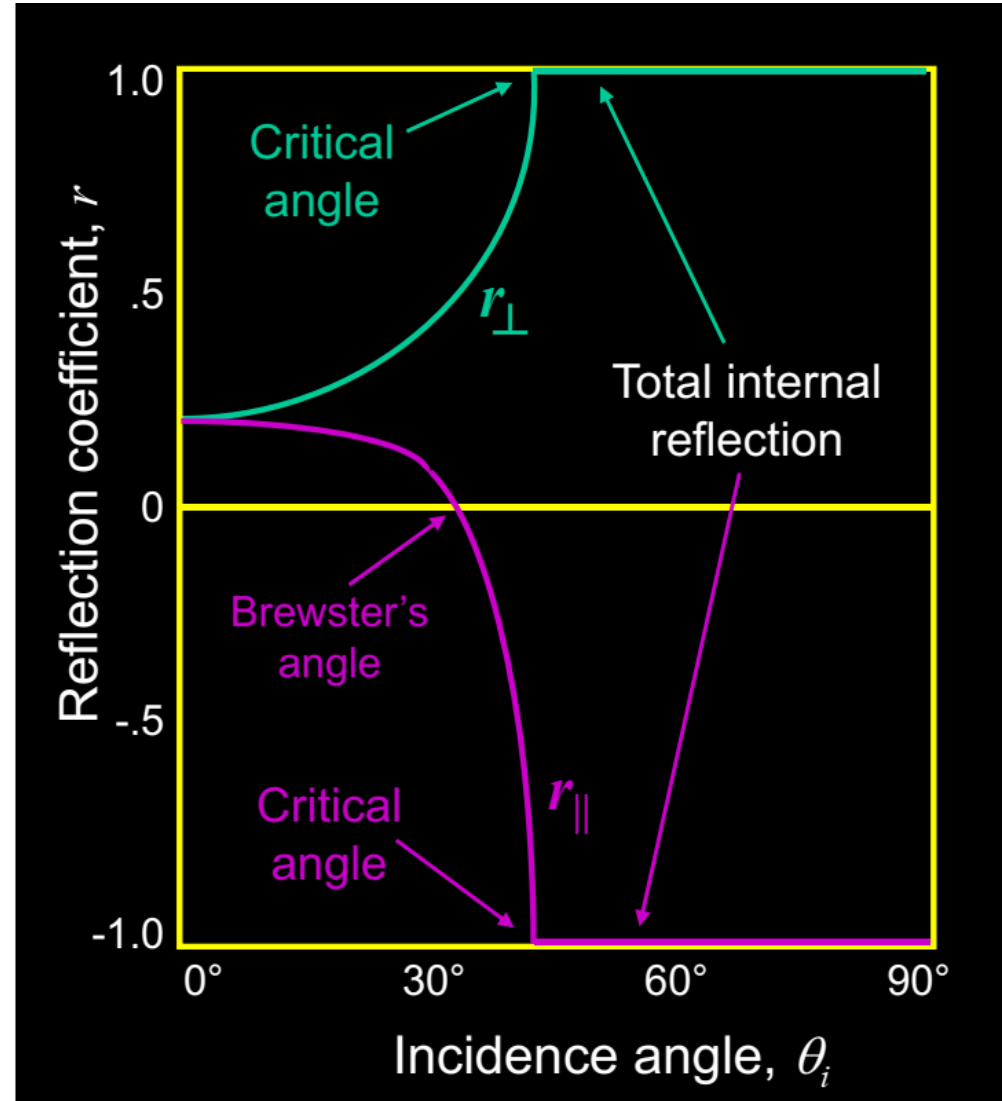
$\sin \theta_t$ não pode ser > 1



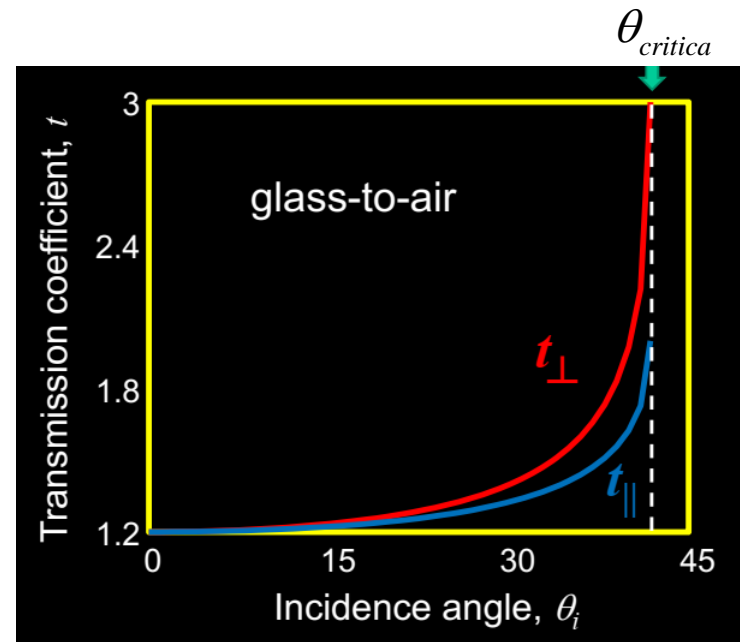
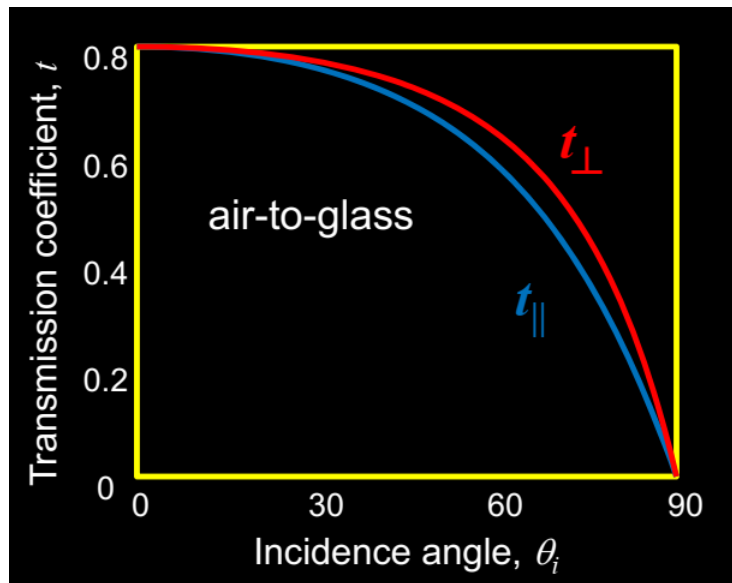
Internal refraction

vidro → ar

$$\theta_{\text{critica}} \approx \tan^{-1}(1/1.5) \\ \approx 41.8^\circ$$



transmissão



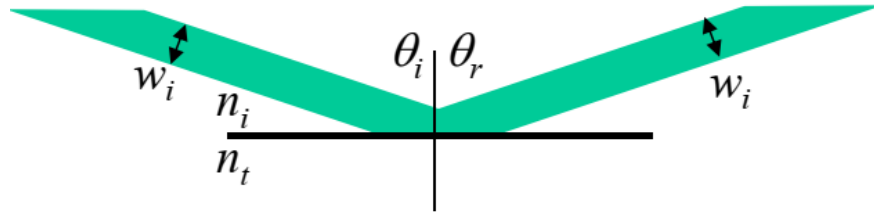
Note que o coeficiente de transmissão pode ser superior á unidade !

Caso de vidro \rightarrow ar @ $\theta_i = \theta_{critica}$ $\sin(\theta_t) = 1; \cos(\theta_t) = 1$

$$t_{\perp} = \frac{2n_i \cos \theta_i}{n_i \cos \theta_i + n_t \cos \theta_t} = 2 \quad t_{\parallel} = \frac{2n_i \cos \theta_i}{n_i \cos \theta_t + n_t \cos \theta_i} = \frac{2n_i}{n_t} \approx 3$$

Parece ser contrassenso, mas convêm lembrar que é a energia que é conservada

Refletância



$$R \equiv \frac{\text{Potência refletida}}{\text{Potência incidente}} = \frac{I_r A_r}{I_i A_i}$$

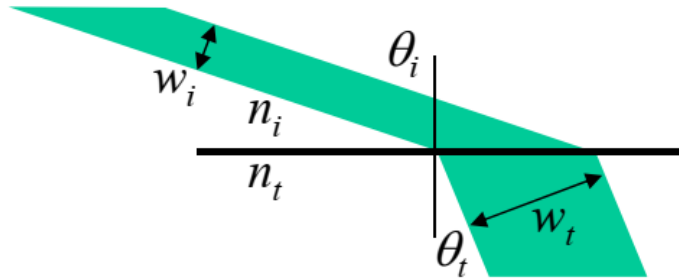
$$I_r = \frac{1}{2} \varepsilon_0 c n_i |E_r|^2$$

$$I_i = \frac{1}{2} \varepsilon_0 c n_i |E_i|^2$$

$$\theta_i = \theta_r \Rightarrow w_i = w_r \Rightarrow A_i = A_r$$

$$R = \frac{|E_r|^2}{|E_i|^2} = |r|^2$$

Transmitância

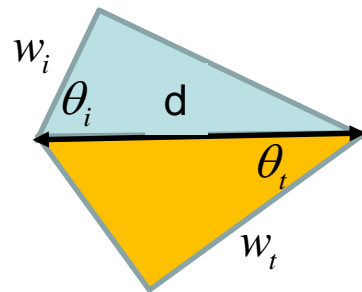
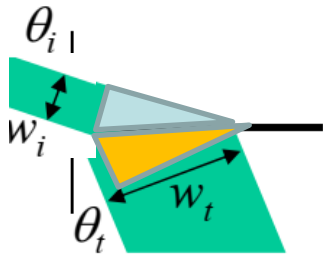


$$T \equiv \frac{\text{Potência transmitida}}{\text{Potência incidente}} = \frac{I_t A_t}{I_i A_i}$$

$$I_t = \frac{1}{2} \varepsilon_0 c n_t |E_t|^2$$

$$I_i = \frac{1}{2} \varepsilon_0 c n_i |E_i|^2$$

O ângulo refratado é diferente do que o ângulo de incidência e os feixes têm larguras diferentes



$$w_t = d \cos \theta_t$$

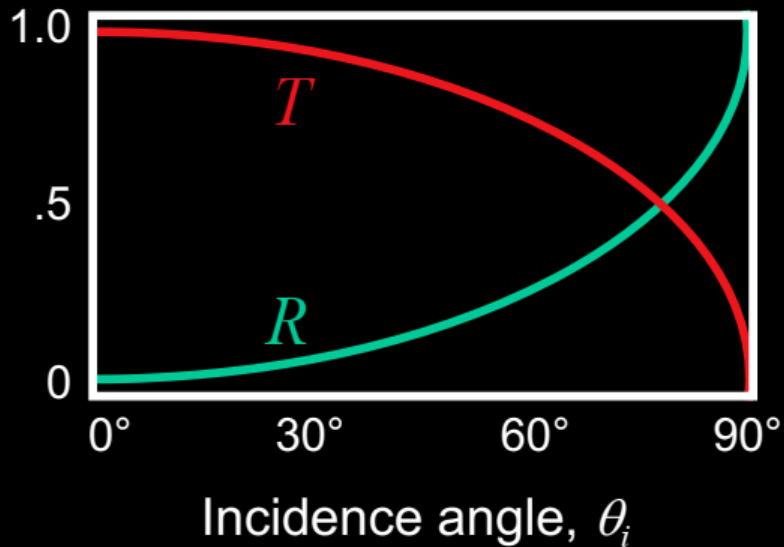
$$w_i = d \cos \theta_i$$

$$\frac{A_t}{A_i} = \frac{w_t}{w_i} = \frac{\cos \theta_t}{\cos \theta_i}$$

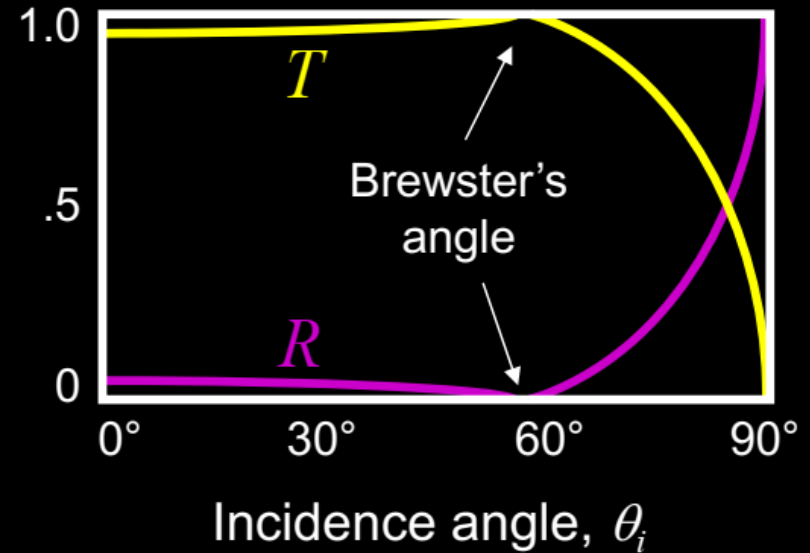
$$T = \frac{n_t \cos \theta_t |E_t|^2}{n_i \cos \theta_i |E_i|^2} = \frac{n_t \cos \theta_t}{n_i \cos \theta_i} |t|^2$$

Curvas para o caso de ar \rightarrow vidro

Perpendicular polarization

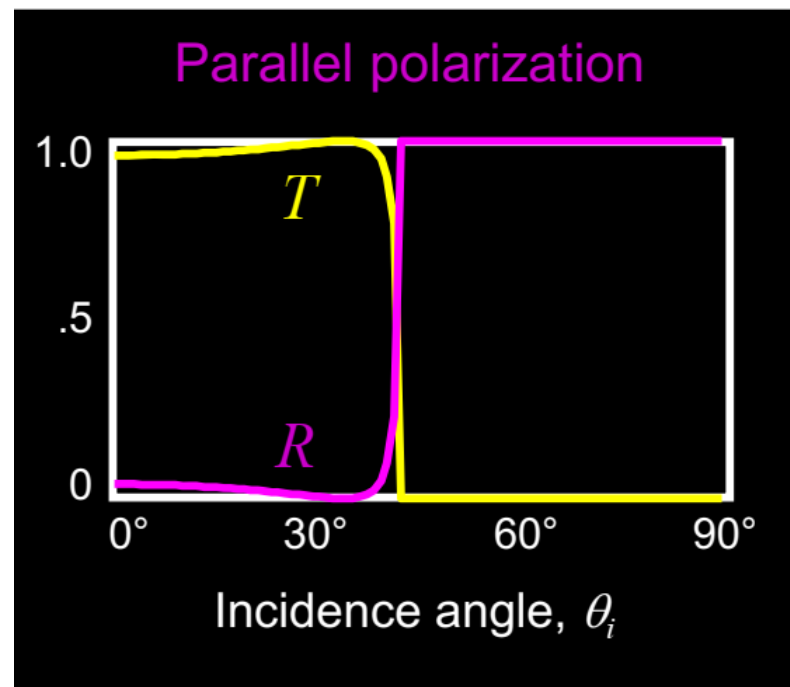
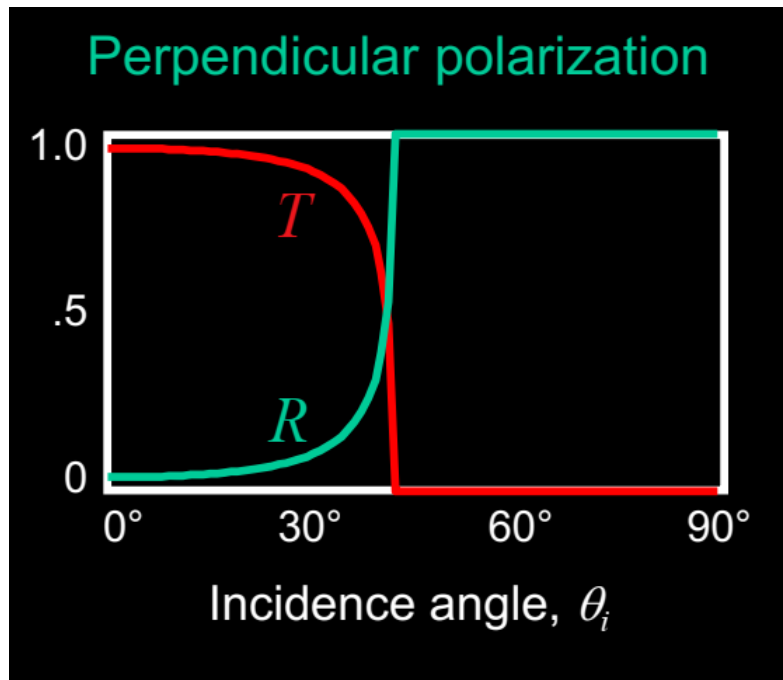


Parallel polarization



embora $r + t$ nem sempre é $=1$
 $R+T=1$

Curvas para o caso de vidro \rightarrow ar



O ângulo crítico é igual para as duas polarizações

$$R+T = 1$$

Incidência normal

Quando $\theta_i = 0$ $\theta_r = \theta_t = 0$ $R = \frac{(n_t - n_i)^2}{(n_t + n_i)^2}$ $T = \frac{4n_t n_i}{(n_t + n_i)^2}$

Numa interface vidro ar $n_{ar} \approx 1$ $n_{vidro} \approx 1.5$ $R \approx 0.04$ $T \approx 0.96$

Igual para vidro \rightarrow ar ou ar \rightarrow vidro

Duas superfícies $T_{vidro} \approx 0.92$ $R_{vidro} \approx 0.08$



Fresnel em ação

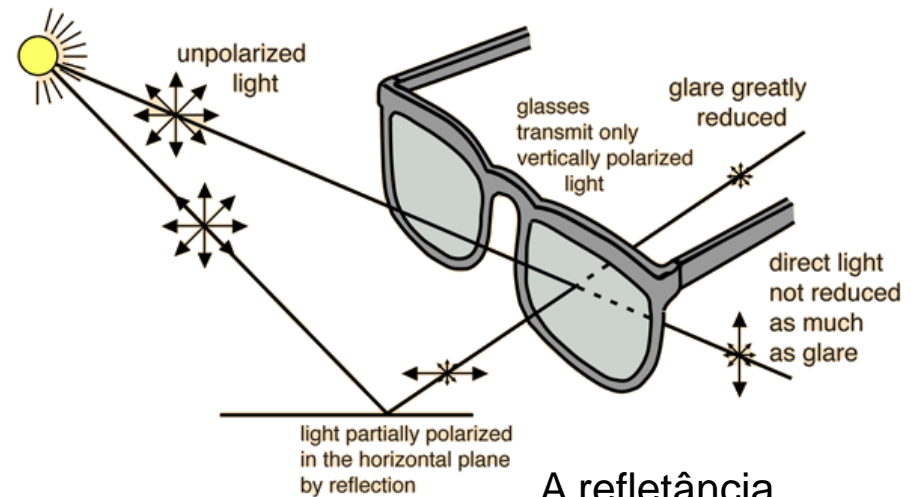




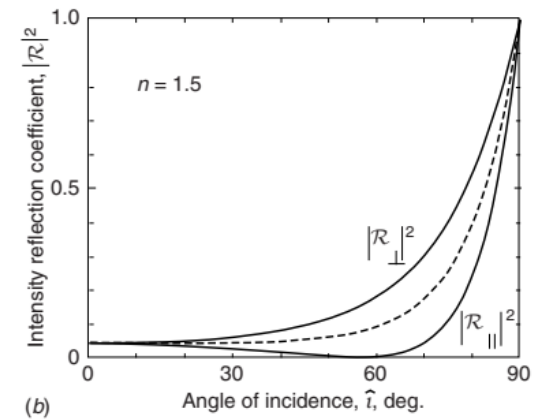
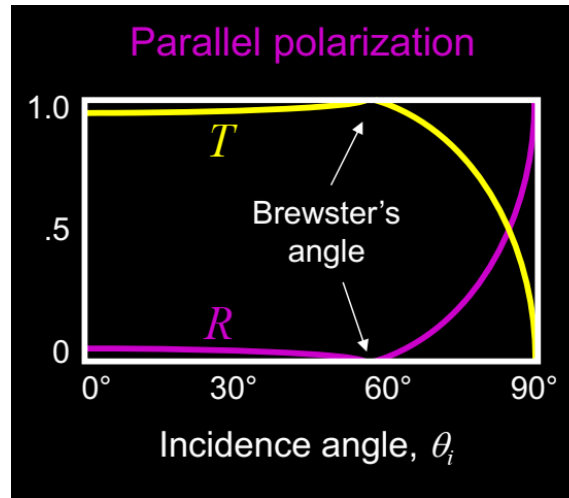
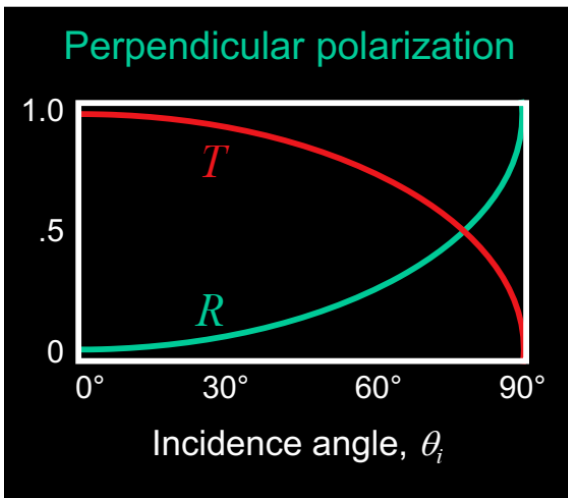
A glass rod and a wooden rod immersed in benzene. Since the index of refraction of benzene is very nearly that of glass, the rod on the left seems to vanish in the liquid. (E.H.)



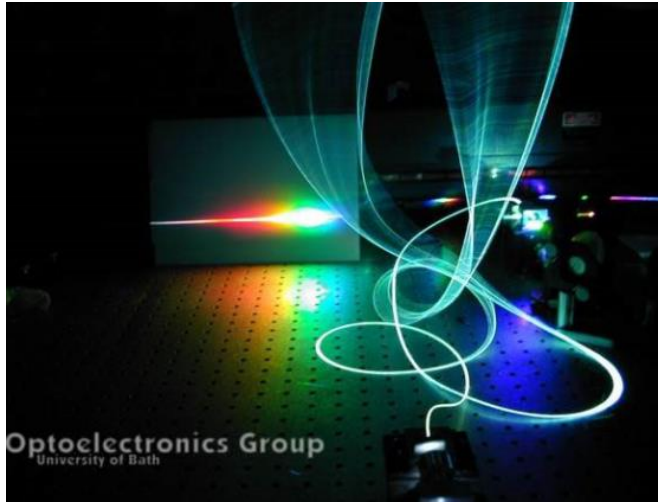
At near-glancing incidence the walls and floor are mirrorlike—this despite the fact that the surfaces are rather poor reflectors at $\theta_i = 0^\circ$. (E.H.)



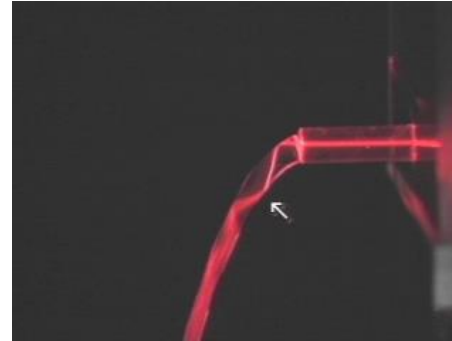
A refletância para polarizações é superior ao p



Aplicações na ótica



Fibras óticas usam reflexão interna total para guiar a luz



Muitos laser usam componentes no ângulo de Brewster para evitar perdas devida reflexões

